

УДК 514.7

## РЕШЕНИЯ УРАВНЕНИЯ БЮРГЕРСА С ПЕРИОДИЧЕСКИМ ВОЗМУЩЕНИЕМ НА ГРАНИЦЕ

А.В. САМОХИН

Изучена асимптотика решений уравнения Бюргерса с начальными/граничными данными на конечном интервале с периодическим возмущением на границе. Уравнение описывает вязкую среду и первоначальный постоянный профиль переходит в бегущую волну с убывающей амплитудой. При малых значениях вязкости асимптотический профиль имеет пилообразный профиль с периодическими разрывами производной, похожий на известное решение Фэя на полупрямой.

**Ключевые слова:** уравнение Бюргерса, начально-граничная задача на отрезке, пилообразные решения.

### 1. ВВЕДЕНИЕ

Уравнение Бюргерса

$$u_t(x, t) = \varepsilon^2 u_{xx}(x, t) - 2 \cdot u(x, t)u_x(x, t). \quad (1)$$

описывает колебания вязкой среды. Вязкость гасит колебания (за исключением инвариантных относительно какой-либо подалгебры симметрий).

Начально-граничные данные на конечном интервале для уравнения Бюргерса имеют вид:

$$u(x, 0) = f(x), \quad u(a, t) = l(t), \quad u(b, t) = r(t), \quad x \in [a, b]. \quad (2)$$

Нас интересует поведение решений в случае периодического возмущения на границе следующего вида:

$$u(x, 0) = a, \quad u(0, t) = a + b \sin(\omega t), \quad u(L, t) = a, \quad x \in [0, L].$$

Для полубесконечного интервала  $x \in [0, +\infty)$  вопрос о виде таких решений хорошо изучен. При значительной вязкости колебания экспоненциально затухают при (пространственном) удалении от источника возмущений. Однако во многих задачах нелинейной акустики возмущение  $u$  периодически по  $x$ , и нелинейные эффекты концентрируются вблизи источника и содержат там регулярно разнесённые в пространстве разрывы. Таким образом, при незначительной вязкости доминируют нелинейные эффекты и возникает убывающий пилообразный профиль, который постепенно расплывается (разрывы превращаются в скачки с увеличивающейся толщиной), превращаясь в затухающую волну – иногда на значительном удалении от источника. Достаточно адекватная асимптотика для таких решений предложена Фэем [1].

Задача для конечного интервала, которая рассматривается в настоящей статье, приводит к аналогичным результатам, хотя решения имеют некоторые характерные особенности.

Работа является продолжением [6], [7]. Численные расчёты проводились с использованием пакета Maple *PDEtools*.

### 2. ПИЛООБРАЗНЫЕ РЕШЕНИЯ УРАВНЕНИЯ БЮРГЕРСА

Как известно, для уравнения переноса общего вида ( $x \in R$ )

$$w_t + f(w)w_x = 0, \quad (3)$$

момент начала градиентной катастрофы может быть найден следующим образом. Пусть  $w = \varphi(x)$  - начальный профиль. Решение задачи (17) может быть представлено в параметрической форме  $w = \varphi(\xi), x = \xi + F(\xi)t$ , где  $F(\xi) = f(\varphi(\xi))$ . Характеристики  $x = \xi + F(\xi)t$  будут пересекаться в случае  $\varphi'(\xi) < 0$ , что приводит к многозначности  $w$  (опрокидыванию волны или градиентной катастрофе). Если неравенство выполняется на бесконечном интервале, то существует минимальное значение времени  $t_c$ , при котором возникает градиентная катастрофа. Можно определить  $t_c$  при помощи формулы  $t_c = -1 / F'(\xi_c)$  где  $|F'(\xi_c)| = \max |F'(\xi)|$  на интервале  $[a, b]$ , для которого  $F'(\xi) < 0$ .

Мы продемонстрируем, что градиентные катастрофы наследуются уравнениями типа Бюргера на конечном интервале при некоторых начальных данных в случае слабой диссипации, добавленной к модели (17); см. [1-4].

Для полубесконечного интервала и периодического возмущения в точке  $x_0 = 0$  вида:

$$u(0, t) = u_0 + a \sin(\omega t)$$

асимптотика решения имеет вид:

$$u = \frac{a}{R} \sum_{n=1}^{\infty} \frac{\sin(n\mathcal{G})}{\text{sh}[n(1+X)/2R]};$$

здесь  $R$  - число Рейнольдса,  $\mathcal{G} = \omega(t - x/u_0)$  и  $X$  - безразмерная координата, Фау, [4]. График решения для  $u_t(x, t) = \varepsilon^2 u_{xx}(x, t) - 2 \cdot u(x, t)u_x(x, t)$ ,  $u(0, t) = 1 + 2\sin(2\pi t)$  представлен на рис. 1. Можно заметить два эффекта, вносимых слабой вязкостью среды (диссипацией). Во-первых, амплитуда решения достаточно быстро убывает, и решение стремится к константе  $u_0$ . Во-вторых, эффекты нелинейности (пилообразность, т.е. периодические разрывы производной) концентрируются вблизи источника возмущений и быстро сходят на нет за счёт всё той же вязкости.

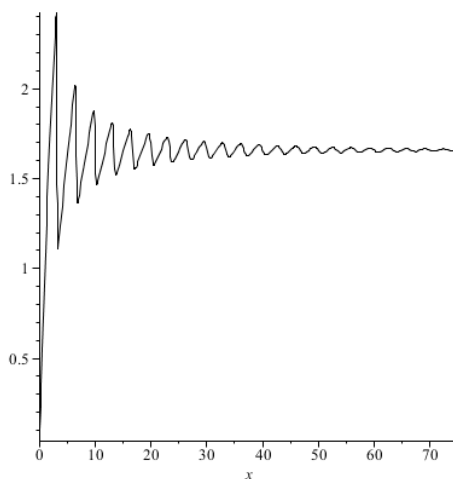


Рис. 1.  $\varepsilon = 0.2, t = 30$

В более сложной ситуации конечного интервала появляются некоторые новые эффекты. В частности, асимптотическое значение (или его среднее по времени, в том случае, когда стабилизация не достигается) будет отличаться от величины исходного возмущения  $u_0$  на правом конце интервала.

### 3. РАЗВИТИЕ ПИЛООБРАЗНЫХ РЕШЕНИЙ УРАВНЕНИЯ БЮРГЕРСА

В этом разделе обсуждается процесс развития пилообразных решений уравнения Бюргерса

$$u_t = \varepsilon^2 u_{xx} - 2uu_x \quad (4)$$

со следующими граничными условиями на интервале  $[0, L]$ :

$$u(t, 0) = 1 + 2 \sin(2\pi t), \quad \frac{\partial}{\partial x} u(t, L) = 0, \quad u(0, x)|_{[0, L]} = 1. \quad (5)$$

В рассмотренном примере  $\varepsilon = 0.5$ ,  $L = 75$ .

На рис. 2 - 5 показан процесс установления периодического (повремени) профиля, начиная от стационарного. Выбранная вязкость довольно высока и подобие пилообразности возникает только вблизи источника возмущения на левом конце интервала. После (пространственного) затухания периодического возмущения процесс протекает в форме движения ударной волны постоянной высоты  $\Delta$  вправо: как показано ниже, её величина равна

среднему значению  $\frac{1}{T} \int_0^T u^2(0, t) dt$ .

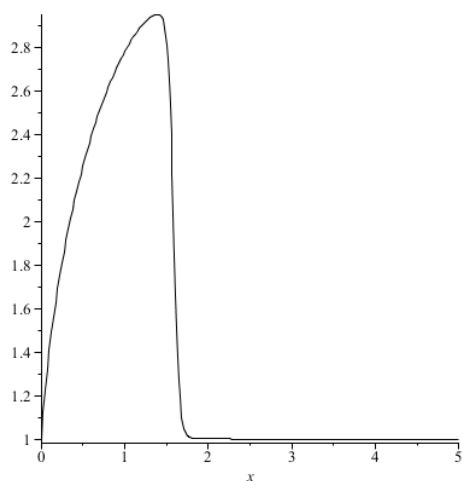


Рис. 2.  $t = 0.5$

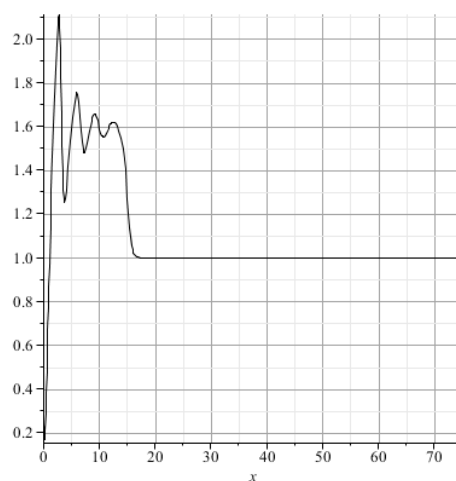


Рис. 3.  $t = 5$

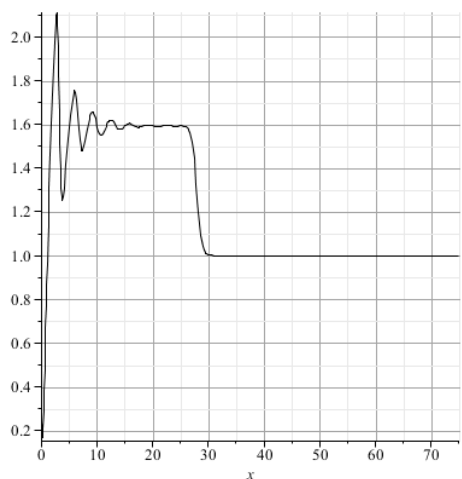


Рис. 4.  $t = 10$

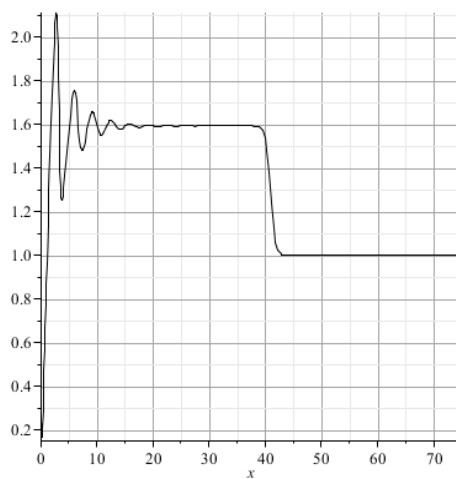


Рис. 5.  $t = 15$

Сравним эти графики с тем, что получается при значительно меньшей диссипации. При  $\varepsilon = 0.05$  и прежних начально граничных условиях, профиль соответствующего решения представлен на рис. 6. Убывание амплитуды идет с меньшей скоростью, но пилообразный характер графика сохраняется вплоть до правого конца интервала. Фронт распространения возмущения представляет собой ударную волну.

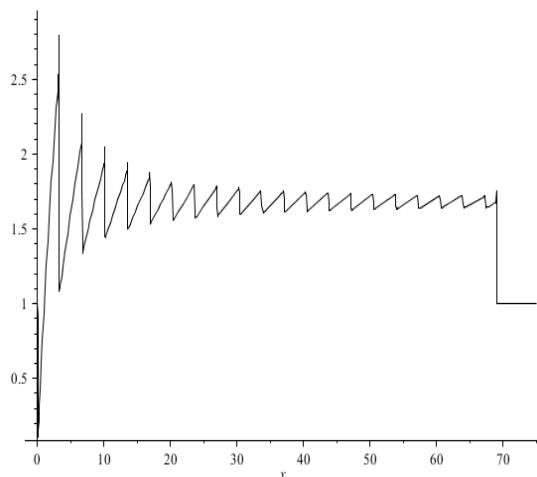


Рис. 6.  $t = 25, \varepsilon = 0.05$

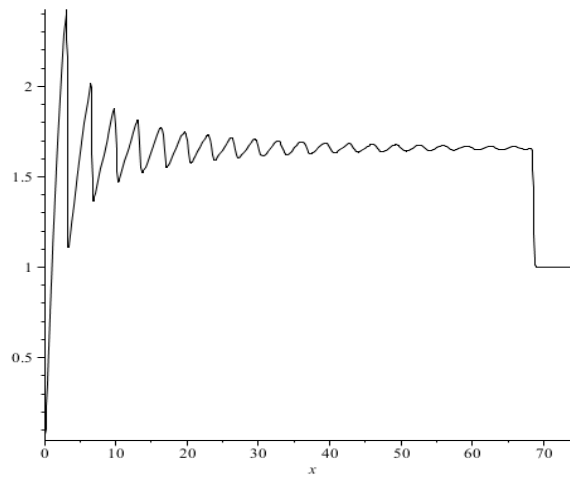


Рис. 7.  $t = 25, \varepsilon = 0.2$

На рис. 7 видно, что передний фронт зубьев пилообразного решения постепенно расширяется от почти вертикального вблизи источника возмущения, перед тем как перейти в гладкий профиль на достаточном удалении; в этом случае

$$u(t, 0) = 2 + 3 \sin(2\pi t), \quad \frac{\partial}{\partial x} u(t, L) = 0, \quad u(0, x)|_{[0, L]} = 2, \quad \varepsilon = 0.15.$$

#### 4. ОЦЕНКИ СКОРОСТИ РАСПРОСТРАНЕНИЯ И ВЫСОТЫ УДАРНОЙ ВОЛНЫ

Уравнение Бюргера может быть записано в форме закона сохранения

$$(u)_t = (\varepsilon^2 u_x - u^2)_x,$$

поэтому контурный интеграл по границе прямоугольника  $\Sigma = \{0 \leq x \leq L, 0 \leq t \leq T\}$  равен нулю:

$$\oint_{\partial \Sigma} [u \, dx + (\varepsilon^2 u_x - u^2) \cdot dt] = 0.$$

Принимая во внимание начально-граничные условия, можно переписать это следующим образом:

$$\int_0^L u(x, 0) dx + \int_0^T (\varepsilon^2 u_x(L, t) - u^2(L, t)) dt + \int_L^0 u(x, T) dx + \int_T^0 (\varepsilon^2 u_x(0, t) - u^2(0, t)) dt = 0.$$

Вследствие диссипации при достаточно больших  $L$  и  $T$  решение на правом конце интервала приобретает постоянное значение  $A$ , которое совпадает со средним значением. Меняя порядок интегрирования и учитывая, что  $u_x(L, t) = 0$  по условию, получим:

$$\begin{aligned} & \int_0^L u(x, 0) dx + \int_0^T (\varepsilon^2 u_x(L, t) - u^2(L, t)) dt - \int_0^L u(x, T) dx - \int_0^T (\varepsilon^2 u_x(0, t) - u^2(0, t)) dt = \\ & = u_0 L - A^2 T - AL - \int_0^T (\varepsilon^2 u_x(0, t) - u^2(0, t)) dt = 0, \end{aligned}$$

или

$$u_0 L - A^2 T - AL - \int_0^T (\varepsilon^2 u_x(0, t) - u^2(0, t)) dt = 0. \quad (6)$$

Поделив на  $T$ , получим квадратное уравнение для определения  $A$ :

$$-A^2 - A \frac{L}{T} - \frac{1}{T} \int_0^T (\varepsilon^2 u_x(0, t) - u^2(0, t)) dt + u_0 \frac{L}{T} = 0. \quad (7)$$

Займёмся оставшимся интегралом, который представляет собой среднее значение подынтегральной функции. Поскольку  $u(0, t) = u_0 + a \sin(\omega t)$ ,  $u_x(0, t) = a\omega \cos(\omega t)$ , то

$$\frac{1}{T} \int_0^T (\varepsilon^2 u_x(0, t) - u^2(0, t)) dt = \frac{\varepsilon^2}{T} a\omega \int_0^T \cos(\omega t) dt - \frac{1}{T} \int_0^T (u_0 + a \sin(\omega t))^2 dt.$$

Поскольку среднее по периоду для синуса и косинуса равны нулю, при больших  $T$  с большой точностью получим, что искомым интеграл равен:

$$-u_0^2 - \frac{a^2}{T} \int_0^T \sin^2(\omega t) dt = -u_0^2 - \frac{a^2}{2T} \int_0^T (1 - \cos(2\omega t)) dt \approx -u_0^2 - \frac{a^2}{2T} T = -u_0^2 - \frac{a^2}{2}.$$

Квадратное уравнение (27) приобретёт теперь вид:

$$-A^2 + u_0^2 + \frac{a^2}{2} - A \frac{L}{T} + u_0 \frac{L}{T} = 0. \quad (8)$$

Отсюда  $A = (-k + \sqrt{k^2 + 4u_0^2 + 2a^2 + 4u_0 k}) / 2$ , где  $k = L / T$ .

Отметим, что при  $T \rightarrow \infty$  получим  $A = \sqrt{u_0^2 + \frac{a^2}{2}}$ , а при  $L \rightarrow \infty$  получим, в согласии с результатами для полубесконечного интервала,  $A = u_0$ .

Для рассчитанных примеров  $u(0, t) = 1 + 2 \sin(\omega t) \Rightarrow A \approx \sqrt{1^2 + 2^2 / 2} \approx 1.7$  при  $T \rightarrow \infty$ .

Перейдём к определению скорости распространения возмущения (или скорости ударной волны). Известно, что для нелинейных волн скорость определяется амплитудой начального возмущения, в рассматриваемом случае, высотой первого горба (см. рис. 2). Эта скорость  $\approx 3$  сохраняется, как это видно из рис. 4 - 6 и далее.

Для аналитического определения высоты первого горба можно также воспользоваться тем, что его форма хорошо описывается решением Р. Хохлова [4], [5]:

$$u = \frac{a}{1+X} \left[ -\mathcal{G} + \pi \cdot \operatorname{th} \left( \frac{\pi R \theta}{1+X} \right) \right],$$

здесь  $R = \frac{a}{2\omega\varepsilon^2}$  - число Рейнольдса,  $\mathcal{G} = \omega(t - x/u_0)$  и  $X$  - безразмерная координата

## 5. ЗАКЛЮЧЕНИЕ

Численные расчёты позволяют не только обнаруживать новые эффекты, возникающие при решении уравнения Бюргера на конечном интервале, но и экспериментально проверять асимптотические оценки, полученные аналитически. Отметим, что численное моделирование функций с разрывной производной является непростым делом, поскольку вблизи разрывов стандартные методы теряют устойчивость. Потеря устойчивости приводит к мультиосцилляциям и потере точности, не говоря уже о потере ясности. С этой проблемой удалось справиться за счёт адаптивной длины шага по пространственной координате (уменьшая шаг в 10-20 раз по сравнению со значениями по умолчанию).

## REFERENCES

1. **Dubrovин B., Elaeva M.** On critical behavior in nonlinear evolutionary PDEs with small viscosity // ArXiv: 1301.7216v1math-ph., 30.01.2013, 16 p.
2. **Dubrovин B., Grava T. and Clein C.** Numerical study of breakup in generalized Korteweg de Vries and Kawahara equations // Siam J. Appl. Math, **71**: 4 (2011), pp. 983–1008.
3. **Dubrovин B.** On Hamiltonian Perturbations of Hyperbolic Systems of Conservation Laws, II: Universality of Critical Behaviour // Comm. Math. Phys., **267** (2006), pp. 117–139.
4. **Fay R.D.** J. Acoust. Soc. Am., Proc., **3**, 1931, pp. 222–241.
5. **Rudenko O.V.** Nonlinear sawtooth-shaped waves // UFN, 9 (1995), pp. 1011–1035 (in Russian).
6. **Samokhin A.**, Gradient catastrophes for a generalized Burgers equation on a finite interval // Geometry and Physics, Elsevier, the Netherlands, **85** (November 2014), pp. 177-184

## SOLUTIONS TO THE BURGERS EQUATION WITH PERIODIC PERTURBATIONS ON BOUNDARY

**Samokhin A.V.**

The asymptotic behavior of solutions of the Burgers equation with initial value - boundary problem on a finite interval with periodic boundary conditions is studied. The equation describes a dissipative medium, so a constant initial profile will evolve to a travelling-wave solution. Its asymptotic limit is periodic 'sawtooth' solution with periodical breaks of derivative, similar to the Fay solution on a half-line.

**Keywords:** Burgers equation, initial value - boundary problem, finite interval, sawtooth solutions.

## Сведения об авторе

**Самохин Алексей Васильевич**, 1947 г.р., окончил МГУ им. М.В. Ломоносова (1971), доктор технических наук, профессор кафедры высшей математики МГТУ ГА, автор 40 научных работ, область научных интересов — уравнения математической физики, симметрии, законы сохранения.